

### Experiência 3:

#### Controle PD e P&D dos sistemas ECP

4 de setembro de 2024

## Conteúdo

<b>1</b>	<b>Introdução aos controladores PD</b>	<b>2</b>
1.1	Forma alternativa: controle P&D . . . . .	5
<b>2</b>	<b>Emulador Industrial</b>	<b>7</b>
2.1	Controle P&D do sistema rígido . . . . .	7
2.1.1	Procedimento experimental - parte 1 . . . . .	8
2.1.2	Procedimento experimental - parte 2 . . . . .	9
2.2	Pré-relatório da experiência 4 . . . . .	10
<b>3</b>	<b>Sistema Retilíneo</b>	<b>10</b>
3.1	Controle P&D do sistema rígido . . . . .	11
3.1.1	Procedimento experimental - parte 1 . . . . .	11
3.1.2	Procedimento experimental - parte 2 . . . . .	12
3.2	Pré-relatório da experiência 4 . . . . .	13
<b>4</b>	<b>Sistema Torcional</b>	<b>14</b>
4.1	Controle P&D do sistema torcional . . . . .	14
4.1.1	Procedimento experimental - parte 1 . . . . .	15
4.1.2	Procedimento experimental - parte 2 . . . . .	16
4.2	Pré-relatório da experiência 4 . . . . .	17
<b>5</b>	<b>Pêndulo Invertido: controle PD da haste deslizante</b>	<b>17</b>
5.1	Haste rotacional bloqueada . . . . .	17
5.2	Haste rotacional livre . . . . .	18
5.3	Procedimento experimental . . . . .	19
5.3.1	Procedimento experimental - haste rotacional presa . . . . .	19
5.3.2	Procedimento experimental - haste livre . . . . .	20
5.4	Pré-relatório da experiência 4 . . . . .	22

<b>6 Levitador Magnético</b>	<b>22</b>
6.1 Controle P&D do levitador magnético . . . . .	24
6.2 Procedimento experimental . . . . .	26
6.2.1 Procedimento experimental - parte 1 . . . . .	26
6.2.2 Procedimento experimental - parte 2 . . . . .	28
6.3 Pré-relatório da experiência 4 . . . . .	28
<b>Referências</b>	<b>29</b>

## 1 Introdução aos controladores PD

Esta experiência trata com conceitos associados ao controle proporcional-derivativo (PD). Controladores PD encontram aplicações em várias áreas, como no controle de máquinas-ferramentas e no controle de atitude de sistemas aeroespaciais.

Uma estrutura clássica para o controle em malha fechada de uma planta de 2<sup>a</sup> ordem hipotética

$$G_p(s) = \frac{c_0}{s(s + c_1)},$$

através de um controlador PD

$$G_c(s) = K_p + K_d s,$$

onde  $K_p$ ,  $K_d$  são os ganhos proporcional e derivativo, é apresentada na Fig. 1.

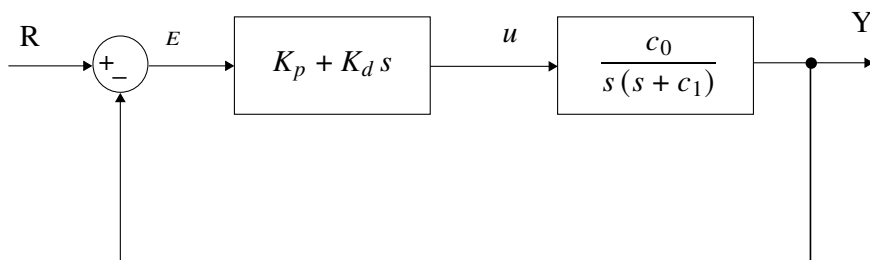


Figura 1: Sistema de controle em malha fechada.

Suponha inicialmente que  $kd = 0$  e que portanto o sinal de controle é apenas proporcional ao sinal de erro:  $u(t) = K_p e(t)$ ,  $t \geq 0$ . Suponha ainda que nesta situação, a saída do sistema exibe o comportamento ilustrado na Fig. 2.

Uma análise do comportamento do sistema em malha fechada no domínio do tempo evidencia que:

1. No intervalo  $0 < t < t_1$ , o erro é positivo, assim como o sinal de controle. O elevado *overshoot* e as oscilações subsequentes na saída são devidas ao excessivo valor do controle e à falta de amortecimento suficiente durante este intervalo;

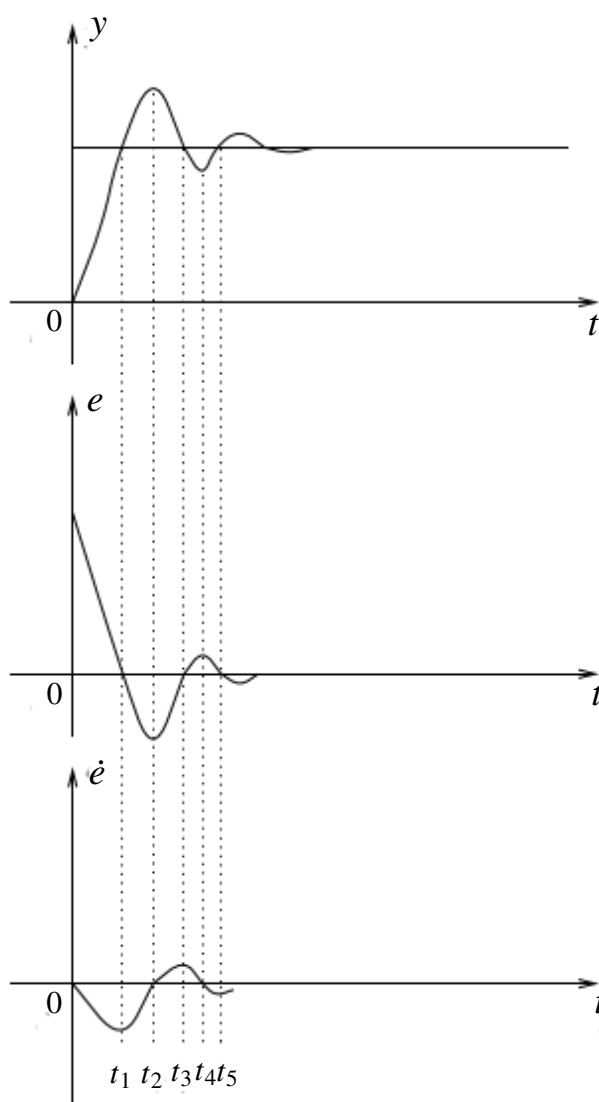


Figura 2: Análise das ações proporcional e derivativa.

2. No intervalo  $t_1 < t < t_3$ , o erro é negativo, assim como o sinal de controle. O sinal de controle tende a desacelerar a saída, causando a sua reversão e o *undershoot*;
3. No intervalo  $t_3 < t < t_5$ , o erro é positivo, assim como o sinal de controle. O sinal de controle positivo é uma resposta ao *undershoot* verificado no intervalo anterior. Como por hipótese o sistema é estável em malha fechada, as amplitudes das oscilações são reduzidas progressivamente até que a saída do sistema alcance seu valor final.

Assim, os fatores que contribuem para o elevado *overshoot* são:

- O sinal de controle no intervalo  $0 < t < t_1$  é muito grande;
- O sinal de controle no intervalo  $t_1 < t < t_2$  não é adequado.

Neste sentido, a adoção de um controlador proporcional-derivativo gerando um sinal de controle  $u(t) = K_p e(t) + K_d \dot{e}(t)$ ,  $t \geq 0$  teria as seguintes implicações:

1. No intervalo  $0 < t < t_1$ , a derivada do erro é negativa, o que tende a reduzir a ação de controle gerada pela parte proporcional;
2. No intervalo  $t_1 < t < t_2$ , tanto o erro quanto a derivada do erro são negativas. A ação de reversão será maior do que a produzida apenas pela parte proporcional;
3. No intervalo  $t_2 < t < t_3$ , o erro (negativo) e a derivada do erro (positiva) têm sinais opostos. A ação proporcional (negativa) que contribuiria para o *undershoot* é também reduzida.

O controlador PD introduz uma componente *antecipativa* em relação ao controlador proporcional, pois dispõe da informação a respeito da tendência do erro e pode utilizá-la para antecipar ações destinadas a reduzir *overshoot* e oscilações em geral.

**Exercício 1:** Mostre que a função de transferência de malha fechada do sistema representado na Fig.1 é dada por (t)

$$\frac{Y(s)}{R(s)} = \frac{K_d c_0 s + K_p c_0}{s^2 + (c_1 + k_d c_0) s + K_p c_0} \quad (1)$$

Observa-se através do denominador da função de transferência de malha fechada (1) que um dos efeitos da ação derivativa é aumentar o amortecimento do sistema, o que contribui para a diminuição do *overshoot*. Observe também que a ação derivativa não tem efeito sobre o valor de estado estacionário.

**Exercício 2:** Mostre que para uma entrada degrau unitário,

$$y(\infty) = \lim_{s \rightarrow 0} s Y(s) = 1,$$

isto é, o mesmo valor que seria obtido com um controlador proporcional. (t)

Uma análise no domínio das frequências (Fig.3) mostra que o controlador PD é essencialmente um filtro passa-alta. De fato, indicando que a amplitude de  $G_c(j\omega)$  cresce com uma inclinação de 20 dB/dec a partir da frequência de corte  $\omega = K_p/K_d$  [rd/s] e que a fase de  $G_c(j\omega)$  tende a  $90^\circ$ .

$$G_c(j\omega) = K_p \left( \frac{K_d}{K_p} j\omega + 1 \right)$$

O controlador PD adiciona fase ao sistema, o que é desejável para garantir a estabilidade do sistema realimentado. Além disso, desloca a frequência de cruzamento com 0 dB (*crossover*) para a direita, o que aumenta a largura de banda e reduz o tempo de subida do sistema. Por outro lado, ao aumentar a largura de banda, o controlador PD acentua sinais (ruídos) de alta frequência, o que pode deteriorar a resposta do sistema.

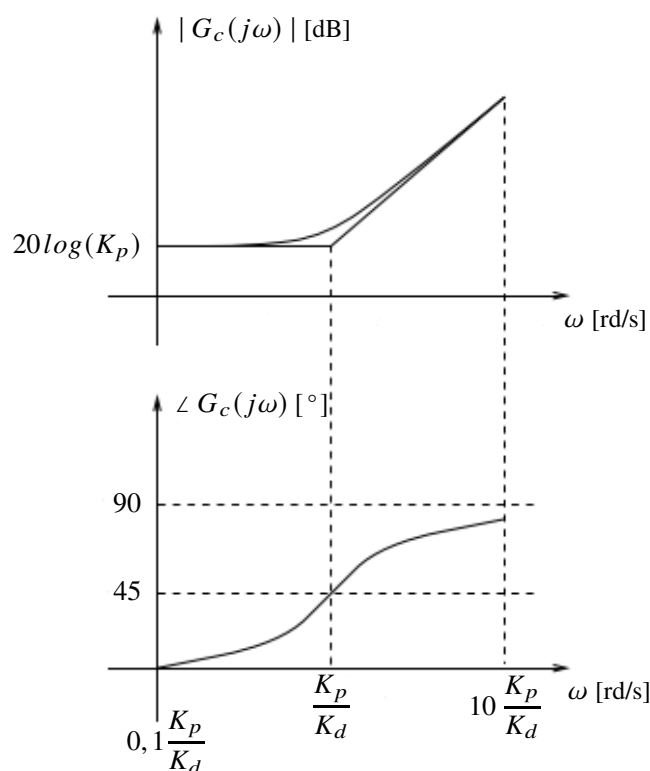


Figura 3: Diagramas de Bode de  $G_c(s)$ .

### 1.1 Forma alternativa: controle P&D

Em certas situações é conveniente implementar o controlador PD como na Fig.4 abaixo. Denotaremos por P&D essa forma de controle, para distingui-la da forma PD original como na Fig.1. O controlador P&D é também conhecido como controle PD com realimentação de velocidade.

Uma razão para adotar a implementação ilustrada na Fig.4 é que de acordo com a implemen-

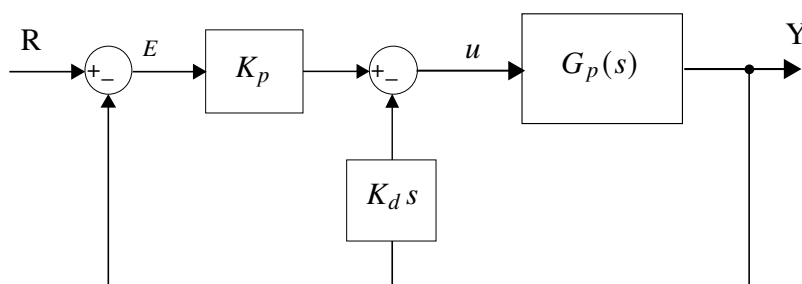


Figura 4: Modificação do controlador PD clássico, denotada por P&D.

tação clássica da Fig.1, se a referência for um degrau, então no instante inicial o controlador PD gera um impulso. Por outro lado, através da implementação da Fig.4, o sinal de controle é  $u(t) = K_p e(t) - K_d \dot{y}(t)$ , que não envolve a derivada da entrada. Observe que a segunda im-

plementação é qualitativamente equivalente à primeira, pois ao invés de antecipar a tendência do erro, a ação derivativa antecipa a tendência da saída com o sinal trocado.

**Exercício 3:** Mostre que a função de transferência de malha fechada da Fig.4 é dada por

$$\frac{Y(s)}{R(s)} = \frac{K_p c_0}{s^2 + (c_1 + k_d c_0)s + K_p c_0}, \quad (2)$$

e que portanto possui a mesma equação característica da implementação clássica. t

Observa-se que (2) também apresenta a propriedade de aumento do amortecimento verificada em (1), mas que devido a ausência do zero, as características ligadas à adição de fase ao sistema ficam prejudicadas.

**Exemplo 1:** Considere um sistema com a função de transferência

$$\frac{Y(s)}{U(s)} = \frac{10}{s(s+2)},$$

e duas situações: a) controlador PD; b) controlador P&D. Em ambos adota-se  $K_p = 0,1$  e  $K_d = 0,01$ . Os diagramas de Bode do sistema em malha fechada correspondentes são apresentados na Fig.5, mostrando claramente a influência do zero extra no controlador PD clássico.

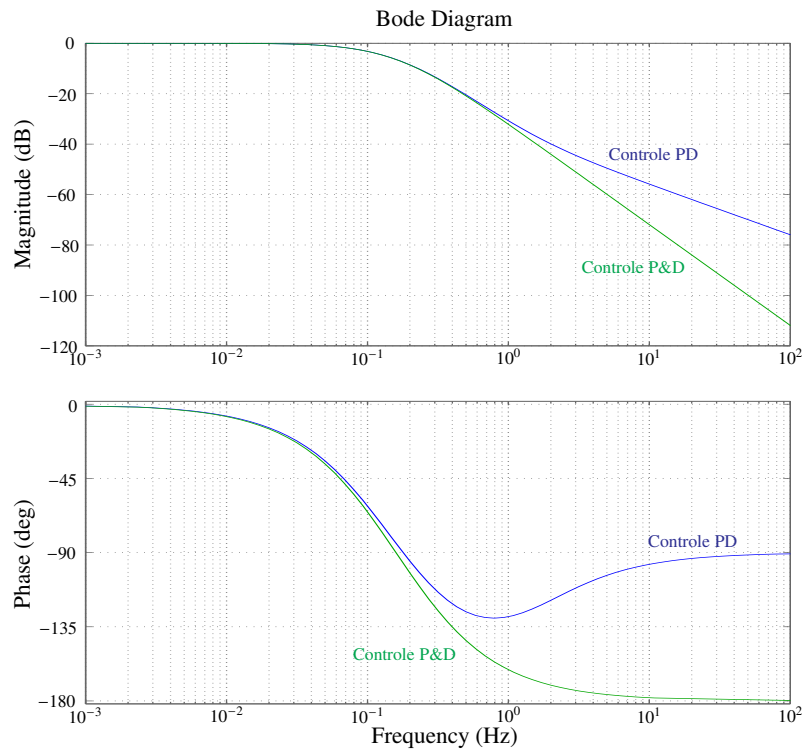


Figura 5: Diagramas de Bode do Exemplo 1: controlador PD e P&D.

## 2 Emulador Industrial

Nota: Os símbolos g, t, d e s indicam a necessidade de produção de um gráfico, desenvolvimento teórico, diagrama simulink™ e script Matlab™, respectivamente.

Os resultados experimentais envolvendo controle P&D do sistema rígido serão obtidos para a seguinte configuração:

- Sistema rígido apenas com o disco de atuação;
- Correia do disco de atuação ao dispositivo SR desconectada;
- Inércias adicionais sobre o disco de atuação: 4 massas de 0,212 Kg dispostas a 5 cm do centro do disco.

O modelo dinâmico da planta incorporando o ganho de hardware é dado por

$$Gp(s) = \frac{k_{hw}}{Js^2 + c_d s}, \quad J = J_d + J_w$$

referente à configuração acima, e  $J_w = 4.m(dist^2 + dia^2/8)$ , sendo  $m$  a massa,  $dist$  e  $dia$  respectivamente, a distância do centro do disco e o diâmetro de cada peso.

### 2.1 Controle P&D do sistema rígido

Desprezando-se o atrito viscoso, o controle (P&D) em malha fechada do sistema rígido pode ser representado como na Fig.6.

**Exercício 4:** Mostre que a função de transferência de malha fechada da Fig.6 é t

$$\frac{\Theta_1(s)}{R(s)} = \frac{k_{hw} K_p / J}{s^2 + ((c_d + k_{hw} K_d) / J) s + k_{hw} K_p / J},$$

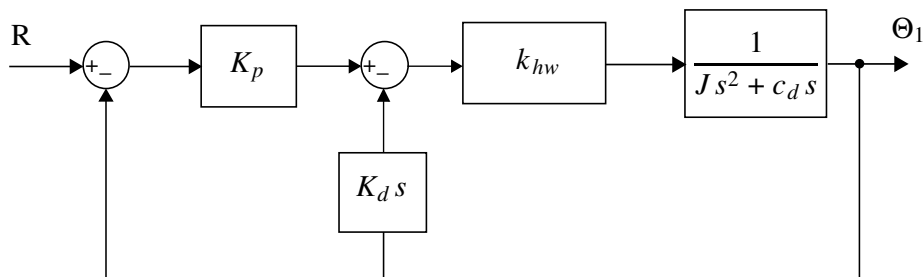


Figura 6: Controle em malha fechada do sistema rígido.

Definindo-se

$$\omega_n := \sqrt{\frac{k_{hw} K_p}{J}} \quad [\text{rd/s}] \quad (3)$$

$$\xi := \frac{c_d + k_{hw} K_d}{2J\omega_n} = \frac{c_d + k_{hw} K_d}{2\sqrt{J k_{hw} K_p}} \quad (4)$$

a função de transferência em malha fechada pode ser colocada na forma padrão

$$\frac{\Theta_1(s)}{R(s)} = \frac{\omega_n^2}{s^2 + 2\xi\omega_n s + \omega_n^2}.$$

### 2.1.1 Procedimento experimental - parte 1

Nesta primeira parte do procedimento experimental, analisa-se o efeito de se variar independentemente os valores do ganho proporcional ( $K_p$ ) e do ganho derivativo ( $K_d$ ).

1. Ajuste o equipamento de acordo com a configuração definida no início da Sessão 2. Certifique-se de que as massas possuam os valores especificados e estejam firmemente posicionadas nas distâncias estabelecidas na configuração. Ajuste a tampa de acrílico na sua posição original;
2. Ajuste a coleta de dados do **Encoder #1** e **Commanded Position** através da caixa de diálogo **Set-up Data Acquisition** do menu **Data**. Ajuste um degrau em malha fechada de **0 (zero)** counts, dwell time = **5000ms** e **1** (uma) repetição através da opção **Trajectory** do menu **Command**. Este procedimento faz com que a placa do controlador adquira dados durante **10s**, mantendo o sistema em regulação ( $R(s) = 0$ ). O procedimento pode ser usado para ajustar o período de aquisição de dados;
3. Por meio de (3), determine o valor de  $K_p$  (com  $K_d = 0$ ) de forma a fazer o sistema se comportar como um oscilador harmônico mola-inércia de frequência 2 Hz (t);
4. Na opção **Control Algorithm** do menu **Set-up**, faça **Ts = 0.000884 s** e selecione **Continuous Time Control**. Selecione **PI with Velocity Feedback** (corresponde ao controlador P&D) e **Set-up Algorithm**. Atribua o valor de  $K_p$  calculado acima (certifique-se de que  $K_p < 0.2$ ), atribua  $K_d = K_i = 0$ , selecione OK e depois **Implement Algorithm**;
5. Selecione **Execute** no menu **Command**. Prepare-se para rotacionar o disco de atuação por aproximadamente  $10^\circ$ . Rotacione o disco por  $10^\circ$ , selecione **Run**, e libere o disco. Não segure o disco rotacionado por mais do que **2s**, uma vez que a proteção térmica do motor abre a malha de controle nesta situação;
6. Exporte a saída do **Encoder #1** e plote um gráfico usando o Matlab (para isso use o script `plotRawData.m`) (g). Determine a frequência de oscilação exibida pelo sistema (t). O que acontece quando o ganho proporcional é dobrado (t)? Repita os passos 4 e 5 e compare com a sua previsão (g) (t). Explique porque não se obtém um oscilador harmônico perfeito (t);



7. Utilizando novamente o ganho  $K_p$  obtido no item 3, calcule agora o ganho  $K_d$  para que o amortecimento seja nulo, utilizando a expressão em (4) (t). Adicione o novo valor no algoritmo de controle e implemente-o. Selecione **Execute** no menu **Command**, e selecione **Run**. Exporte e plote a saída do **Encoder #1** e do **Commanded Position** (g). Comente e explique o comportamento observado (t). Explique porque em um sistema de controle dificilmente o ganho  $K_d$  seria negativo como o obtido neste experimento (t);
8. Determine o valor do ganho derivativo  $K_d$  para que  $K_d k_{hw} = 0.05$  [N-m/(rd/s)] (t), e implemente o controlador com **Ts = 0.006188 s**, atribuindo o valor calculado de  $K_d$  (certifique-se de que  $K_d < 0.05$ ) e  $K_i = K_p = 0$ ;
9. Após checar a estabilidade do sistema deslocando-o ligeiramente, movimente o disco nas duas direções. Não force o disco em demasia pelos mesmos motivos do passo 5. A que se deve atribuir o aumento do atrito viscoso observado ao se deslocar o disco (t)?
10. Repita os passos 8 e 9 para um valor de  $K_d$  cinco vezes maior (mas mantendo  $K_d < 0.05$ ). Pode-se observar o aumento no amortecimento (t)?

### 2.1.2 Procedimento experimental - parte 2

Nesta segunda parte do procedimento experimental, serão projetados e testados alguns controladores P&D.

11. Por meio das equações (3) e (4), projete controladores P&D (i.e., determine os valores de  $K_p$  e  $K_d$ ) para obter frequência natural  $\omega_n = 8\pi$  [rad], e os seguintes amortecimentos(a)  $\xi = 0.2$  (sub-amortecido), (b)  $\xi = 1.0$  (criticamente amortecido) e (c)  $\xi = 2.0$  (sobre-amortecido) (t);
12. Implemente o controlador sub-amortecido (**Ts = 0.00442 s**) e ajuste a trajetória para um degrau de malha fechada de **2000 counts**, dwell time = **1500 ms** e **1** (uma) repetição;
13. Execute a trajetória e exporte os dados. Plote no mesmo gráfico (eixo) a trajetória comandada e a trajetória de saída (**Encoder #1**) (g);
14. Repita os passos 12 e 13 para os casos criticamente amortecido (g) e sobre-amortecido (g);
15. Projete um controlador P&D para atender as seguintes especificações de desempenho:  $10\% \leq M_p \leq 20\%$  (máximo *overshoot*) e  $t_s = 0.5$  s (tempo de estabelecimento do valor de regime - critério de 5%). O máximo *overshoot* e o tempo de estabelecimento são dados por

$$M_p = \exp\left(\frac{-\xi \pi}{\sqrt{1 - \xi^2}}\right) \times 100 \text{ (em \%)},$$

e

$$t_s = \frac{3}{\xi \omega_n} \text{ (critério de 5\%)},$$

respectivamente. Implemente o controlador e compare a resposta obtida (g) com a esperada teoricamente (t).

## 2.2 Pré-relatório da experiência 4

As seguintes tarefas de simulação deverão ser realizadas e os resultados apresentados no início da próxima experiência:

1. Considere um controlador PI&D conforme a figura abaixo. Calcule  $K_i$  tal que  $K_i k_{hw} = 5$  [Nm/rd-s]. Simule o controlador com este valor de  $K_i$  e os valores de  $K_p$  e  $K_d$  correspondentes ao caso criticamente amortecido;

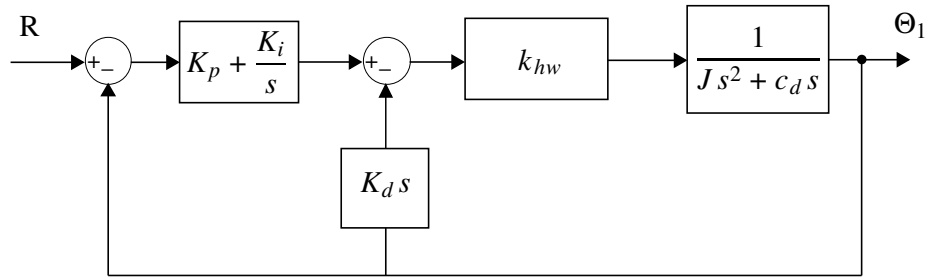


Figura 7: Controle em malha fechada do sistema rígido.

2. Dobre o valor de  $K_i$  e compare a resposta com a obtida no item anterior. Compare as simulações com os resultados experimentais relativos ao sistema criticamente amortecido ( $K_i = 0$ ). Qual o efeito da ação integral sobre o erro de estado estacionário? Qual o efeito da ação integral sobre o máximo *overshoot* do sistema?
3. Utilizando a função `pzmap` do Matlab, plote os polos e zeros do sistema em malha fechada obtidos nos itens 1 e 2. Indique quais são os polos dominantes.

## 3 Sistema Retilíneo

Nota: Os símbolos ⓖ, Ⓣ, ⓓ e Ⓢ indicam a necessidade de produção de um gráfico, desenvolvimento teórico, diagrama simulink<sup>®</sup> e script Matlab<sup>™</sup>, respectivamente.

Os resultados experimentais envolvendo controle P&D do sistema retilíneo serão obtidos para a seguinte configuração. Apenas o primeiro carro será utilizado.

- 4 massas de 500 g sobre o carro #1;
- Molas e amortecedor desconectadas do carro #1.

O modelo dinâmico da planta incorporando o ganho de *hardware* é

$$G_p(s) = \frac{k_{hw}}{m_1 s^2 + c_1 s}, \quad m_1 = m_{c1} + m_w$$

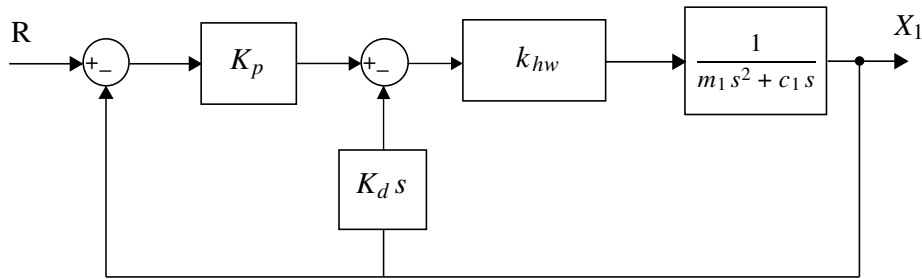


Figura 8: Controle em malha fechada do sistema rígido.

### 3.1 Controle P&D do sistema rígido

Desprezando-se o atrito viscoso, o controle (P&D) em malha fechada do sistema rígido pode ser representado como na Fig.8.

**Exercício 4:** Mostre que a função de transferência de malha fechada da Fig.8 é [t](#)

$$\frac{X_1(s)}{R(s)} = \frac{k_{hw} K_p / m_1}{s^2 + ((c_1 + k_{hw} K_d) / m_1) s + k_{hw} K_p / m_1},$$

Definindo-se

$$\omega_n := \sqrt{\frac{k_{hw} K_p}{m_1}} \text{ [rd/s]} \quad (5)$$

$$\xi := \frac{c_1 + k_{hw} K_d}{2 m_1 \omega_n} = \frac{c_1 + k_{hw} K_d}{2 \sqrt{m_1 k_{hw} K_p}} \quad (6)$$


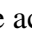
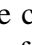
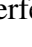
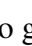
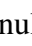

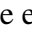
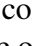
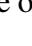
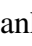
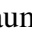

a função de transferência em malha fechada pode ser colocada na forma padrão

$$\frac{X_1(s)}{R(s)} = \frac{\omega_n^2}{s^2 + 2\xi\omega_n s + \omega_n^2}.$$

#### 3.1.1 Procedimento experimental - parte 1


Nesta primeira parte do procedimento experimental, analisa-se o efeito de se variar independentemente os valores do ganho proporcional ( $K_p$ ) e do ganho derivativo ( $K_d$ ).

1. Ajuste o equipamento de acordo com a configuração definida no início da Sessão 3. Certifique-se de que as massas estejam firmemente ajustadas sobre o carro;
2. Através de [5](#), determine o valor de  $K_p$  (com  $K_d = 0$ ) de forma a fazer o sistema se comportar como um oscilador de frequência 2 Hz [t](#);
3. Ajuste a coleta de dados do **Encoder #1** e **Commanded Position** através da caixa de diálogo **Set-up Data Acquisition** do menu **Data**. Ajuste um degrau em malha fechada de **0 (zero)** counts, dwell time = **3000ms** e **1** (uma) repetição através da opção **Trajectory** do menu **Command**;

4. Na opção **Control Algorithm** do menu **Set-up**, faça **Ts = 0.00442 s** e selecione **Continuous Time Control**. Selecione **PI with Velocity Feedback** (corresponde ao controlador P&D) e **Set-up Algorithm**. Atribua o valor de  $K_p$  calculado acima (certifique-se de que  $K_p < 0.08$ ), atribua  $K_d = K_i = 0$ , selecione OK e depois **Implement Algorithm**;
5. Selecione **Execute** no menu **Command**. Prepare-se para deslocar o carro de aproximadamente 1 cm. Desloque o carro de 1 cm, selecione **Run**, e libere o carro. Não segure o carro deslocado por mais do que 1s, uma vez que a proteção térmica do motor abre a malha de controle nesta situação;
6. Exporte a saída do **Encoder #1** e plote um gráfico usando o Matlab (para isso use o script plotRawData.m) . Compare a frequência de oscilação do sistema com a prevista teoricamente . O que acontece quando o ganho proporcional é dobrado ? Repita os passos 4 e 5 e compare com a sua previsão  . Explique porque não se obtém um oscilador harmônico perfeito .
7. Utilizando novamente o ganho  $K_p$  obtido no item 2, calcule agora o ganho  $K_d$  para que o amortecimento seja nulo, utilizando a expressão em (6) . Adicione o novo valor no algoritmo de controle e implemente-o. Selecione **Execute** no menu **Command**, e selecione **Run**. Exporte e plote a saída do **Encoder #1** e do **Commanded Position** . Comente e explique o comportamento observado . Explique porque em um sistema de controle dificilmente o ganho  $K_d$  seria negativo como o obtido neste experimento .
8. Determine o valor do ganho derivativo  $K_d$  para que  $K_d k_{hw} = 50$  [N-m/(rd/s)] , e implemente o controlador com **Ts = 0.006188 s**, atribuindo o valor calculado de  $K_d$  (certifique-se de que  $K_d < 0.05$ ) e  $K_i = K_p = 0$ ;
9. Após checar a estabilidade do sistema deslocando-o ligeiramente, movimente o disco nas duas direções. Não force o disco em demasia pelos mesmos motivos do passo 5. A que se deve atribuir o aumento do atrito viscoso observado ao se deslocar o carro .
10. Repita os passos 8 e 9 para um valor de  $K_d$  cinco vezes maior (mas mantendo  $K_d < 0.02$ ). Pode-se observar o aumento no amortecimento .

### 3.1.2 Procedimento experimental - parte 2

Nesta segunda parte do procedimento experimental, serão projetados e testados alguns controladores P&D.

11. Por meio das equações (5) e (6), projete controladores P&D (i.e., determine os valores de  $K_p$  e  $K_d$ ) para obter frequência natural  $\omega_n = 8\pi$  [rad], e os seguintes amortecimentos 1)  $\xi = 0.2$  (sub-amortecido), 2)  $\xi = 1.0$  (criticamente amortecido) e 3)  $\xi = 2.0$  (sobre-amortecido) .
12. Implemente o controlador sub-amortecido e ajuste a trajetória para um degrau de malha fechada de **2500 counts**, dwell time = **1000 ms** e **1** (uma) repetição;

13. Execute a trajetória e exporte os dados. Plote no mesmo gráfico (eixo) a trajetória comandada e a trajetória de saída (**Encoder #1**) g;
14. Repita os passos 12 e 13 para os casos criticamente amortecido g e sobre-amortecido g;
15. Projete um controlador P&D para atender as seguintes especificações de desempenho:  $10\% \leq M_p \leq 20\%$  (máximo *overshoot*) e  $t_s = 0.5$  s (tempo de estabelecimento do valor de regime - critério de 5%). O máximo *overshoot* e o tempo de estabelecimento são dados por

$$M_p = \exp\left(\frac{-\xi \pi}{\sqrt{1 - \xi^2}}\right) \times 100 \text{ (em \%)},$$

e

$$t_s = \frac{3}{\xi \omega_n} \text{ (critério de 5\%)},$$

respectivamente. Implemente o controlador e compare a resposta obtida g com a esperada teoricamente t.

### 3.2 Pré-relatório da experiência 4

As seguintes tarefas de simulação deverão ser realizadas e os resultados apresentados no início da próxima experiência:

1. Considere um controlador PI&D conforme a figura abaixo. Calcule  $K_i$  tal que  $K_i k_{hw} = 7500$  [N-m/rd-s]. Simule o controlador com este valor de  $K_i$  e os valores de  $K_p$  e  $K_d$  correspondentes ao caso criticamente amortecido;

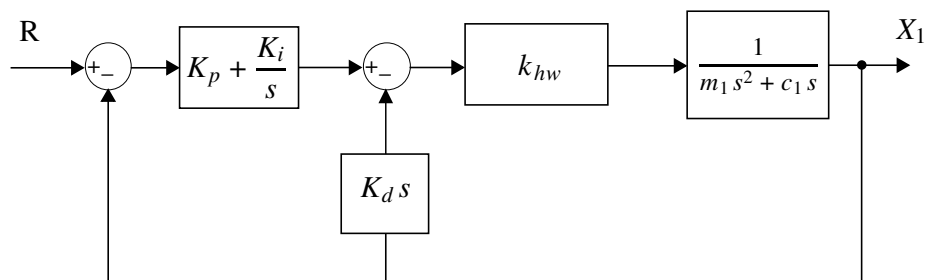


Figura 9: Controle em malha fechada do sistema.

2. Dobre o valor de  $K_i$  e compare a resposta com a obtida no item anterior. Compare as simulações com os resultados experimentais relativos ao sistema criticamente amortecido ( $K_i = 0$ ). Qual o efeito da ação integral sobre o erro de estado estacionário? Qual o efeito da ação integral sobre o máximo *overshoot* do sistema?
3. Utilizando a função pzmap do Matlab, plote os polos e zeros do sistema em malha fechada obtidos nos itens 1 e 2. Indique quais são os polos dominantes.

## 4 Sistema Torcional

Nota: Os símbolos g, t, d e s indicam a necessidade de produção de um gráfico, desenvolvimento teórico, diagrama simulink<sup>®</sup> e script Matlab<sup>™</sup>, respectivamente.

Os resultados experimentais envolvendo controle P&D do sistema torcional serão obtidos para a seguinte configuração:

- Discos #2 e #3 removidos;
- Inércias adicionais sobre o disco #1: 2 massas de 0.500 Kg dispostas a 9 cm do centro do disco.

O modelo dinâmico da planta incorporando o ganho de *hardware* é

$$G_p(s) = \frac{k_{hw}}{J_1 s^2 + c_1 s}, \quad J_1 = J_{d1} + J_w,$$

referente à configuração acima, e  $J_w = 2.m (dist^2 + dia^2/8)$ , sendo  $m$  a massa,  $dist$  e  $dia$  respectivamente, a distância do centro do disco e o diâmetro de cada peso.

### 4.1 Controle P&D do sistema torcional

O controle (P&D) em malha fechada do sistema pode ser representado como na Fig.10.

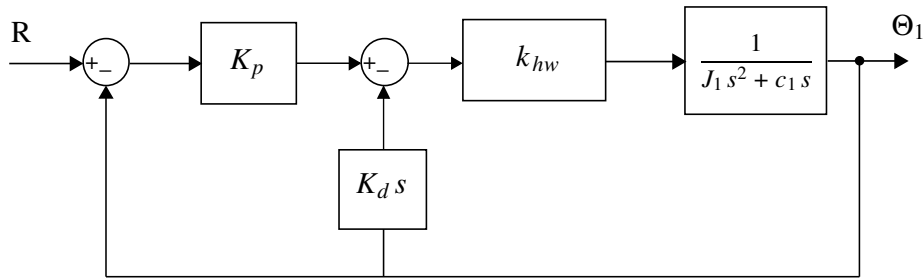


Figura 10: Controle em malha fechada do sistema rígido.

**Exercício 4:** Mostre que a função de transferência de malha fechada da Fig.10 é t

$$\frac{\Theta_1(s)}{R(s)} = \frac{k_{hw} K_p / J_1}{s^2 + [(c_1 + k_{hw} K_d) s + k_{hw} K_p] / J_1},$$

Definindo-se

$$\omega_n := \sqrt{\frac{k_{hw} K_p}{J_1}} \text{ [rd/s]} \quad (7)$$

$$\xi := \frac{c_1 + k_{hw} K_d}{2 J_1 \omega_n} = \frac{c_1 + k_{hw} K_d}{2 \sqrt{J_1 k_{hw} K_p}} \quad (8)$$

a função de transferência em malha fechada pode ser colocada na forma padrão

$$\frac{\Theta_1(s)}{R(s)} = \frac{\omega_n^2}{s^2 + 2\xi \omega_n s + \omega_n^2}.$$

#### 4.1.1 Procedimento experimental - parte 1

Nesta primeira parte do procedimento experimental, analisa-se o efeito de se variar independentemente os valores do ganho proporcional ( $K_p$ ) e do ganho derivativo ( $K_d$ ).

1. Ajuste o equipamento de acordo com a configuração definida no início da Sessão 4. Certifique-se de que as massas possuam os valores especificados e estejam firmemente posicionadas nas distâncias estabelecidas na configuração;
2. Por meio de (7), determine o valor de  $K_p$  (com  $K_d = 0$ ) de forma a fazer o sistema se comportar como um oscilador mola-inércia de frequência 2 Hz (t);
3. Ajuste a coleta de dados do **Encoder #1** e **Commanded Position** através da caixa de diálogo **Set-up Data Acquisition** do menu **Data**. Ajuste um degrau em malha fechada de **0 (zero)** counts, dwell time = **2000** ms e **1** (uma) repetição através da opção **Trajectory** do menu **Command**. Este procedimento faz com que a placa do controlador adquira dados durante 4 s, mantendo o sistema em regulação ( $R(s) = 0$ ). O procedimento pode ser usado para ajustar o período de aquisição de dados;
4. Na opção **Control Algorithm** do menu **Set-up**, faça **Ts = 0.00442 s** e selecione **Continuous Time Control**. Selecione **PI with Velocity Feedback** (corresponde ao controlador PI&D) e **Set-up Algorithm**. Atribua o valor de  $K_p$  calculado acima (certifique-se de que  $K_p < 0.10$ ), atribua  $K_d = K_i = 0$ , selecione OK e depois **Implement Algorithm**;
5. Selecione **Execute** no menu **Command**. Prepare-se para rotacionar o disco de atuação por aproximadamente 10°. Rotacione o disco por 10°, selecione **Run**, e libere o disco. Não mantenha o disco rotacionado por mais do que 2s, uma vez que a proteção térmica do motor abre a malha de controle nesta situação;
6. Exporte a saída do **Encoder #1** e plote um gráfico usando o Matlab (para isso use o script plotRawData.m) (g). Determine a frequência de oscilação exibida pelo sistema (t). O que acontece quando o ganho proporcional é dobrado (t)? Repita os passos 4 e 5 e compare com a sua previsão (g) (t). Explique porque não se obtém um oscilador harmônico perfeito (t);
7. Utilizando novamente o ganho  $K_p$  obtido no item 2, calcule agora o ganho  $K_d$  para que o amortecimento seja nulo, utilizando a expressão em (8) (t). Adicione o novo valor no algoritmo de controle e implemente-o. Selecione **Execute** no menu **Command**, e selecione **Run**. Exporte e plote a saída do **Encoder #1** e do **Commanded Position** (g). Comente e explique o comportamento observado (t). Explique porque em um sistema de controle dificilmente o ganho  $K_d$  seria negativo como o obtido neste experimento (t);

8. Determine o valor do ganho derivativo  $K_d$  para que  $K_d k_{hw} = 0.10$  [N-m/(rd/s)] (t), e implemente o controlador com o novo valor de  $K_d$  (certifique-se de que  $K_d < 0.10$ ) e  $K_i = K_p = 0$ ;
9. Após checar a estabilidade do sistema deslocando-o ligeiramente, movimente o disco nas duas direções. Não force o disco em demasia pelos mesmos motivos do passo 5. A que se deve atribuir o aumento do atrito viscoso observado ao se deslocar o disco (t)?
10. Repita os passos 8 e 9 para um valor de  $K_d$  cinco vezes maior (mas mantendo  $K_d < 0.30$ ). Pode-se observar o aumento no amortecimento (t)?

#### 4.1.2 Procedimento experimental - parte 2

Nesta segunda parte do procedimento experimental, serão projetados e testados alguns controladores P&D.

11. Por meio das equações (7) e (8), projete controladores P&D (i.e., determine os valores de  $K_p$  e  $K_d$ ) para obter frequência natural  $\omega_n = 4\pi$  [rad], e os seguintes amortecimentos 1)  $\xi = 0.2$  (sub-amortecido), 2)  $\xi = 1.0$  (criticamente amortecido) e 3)  $\xi = 2.0$  (sobre-amortecido) (t);
12. Implemente o controlador sub-amortecido e ajuste a trajetória para um degrau de malha fechada de **3500** counts, dwell time = **2000 ms** e **1** (uma) repetição;
13. Execute a trajetória e exporte os dados. Plote no mesmo gráfico (eixo) a trajetória comandada e a trajetória de saída (**Encoder #1**) (g);
14. Repita os passos 12 e 13 para os casos criticamente amortecido (g) e sobre-amortecido (g);
15. Projete um controlador P&D para atender as seguintes especificações de desempenho:  $10\% \leq M_p \leq 20\%$  (máximo *overshoot*) e  $t_s = 0.5$  s (tempo de estabelecimento do valor de regime - critério de 5%). O máximo *overshoot* e o tempo de estabelecimento são dados por

$$M_p = \exp\left(\frac{-\xi \pi}{\sqrt{1 - \xi^2}}\right) \times 100 \text{ (em \%)},$$

e

$$t_s = \frac{3}{\xi \omega_n} \text{ (critério de 5\%)},$$

respectivamente. Implemente o controlador e compare a resposta obtida (g) com a esperada teoricamente (t).



## 4.2 Pré-relatório da experiência 4

As seguintes tarefas de simulação deverão ser realizadas e os resultados apresentados no início da próxima experiência:

1. Considere um controlador PI&D conforme a figura abaixo. Calcule  $K_i$  tal que  $K_i k_{hw} = 3$  [N-m/rd-s]. Simule o controlador com este valor de  $K_i$  e os valores de  $K_p$  e  $K_d$  correspondentes ao caso criticamente amortecido;

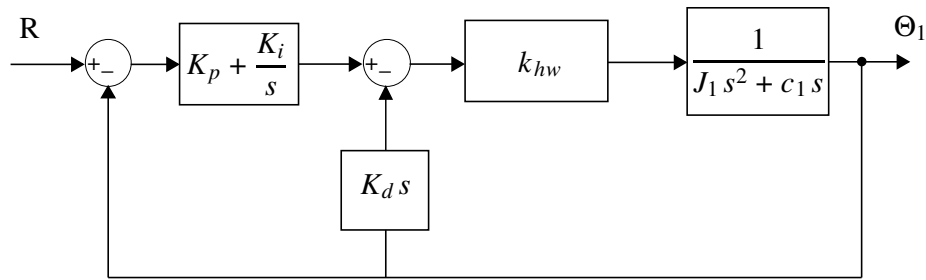






Figura 11: Controle em malha fechada do sistema rígido.

2. Dobre o valor de  $K_i$  e compare a resposta com a obtida no item anterior. Compare as simulações com os resultados experimentais relativos ao sistema criticamente amortecido ( $K_i = 0$ ). Qual o efeito da ação integral sobre o erro de estado estacionário? Qual o efeito da ação integral sobre o máximo *overshoot* do sistema?
3. Utilizando a função `pzmap` do Matlab, plote os polos e zeros do sistema em malha fechada obtidos nos itens 1 e 2. Indique quais são os polos dominantes.

## 5 Pêndulo Invertido: controle PD da haste deslizante

Nota: Os símbolos , ,  e  indicam a necessidade de produção de um gráfico, desenvolvimento teórico, diagrama simulink® e script Matlab™, respectivamente.

Os resultados experimentais envolvendo controle PD do pêndulo invertido serão obtidos para as seguintes configurações:

- Haste rotacional bloqueada;
- Haste rotacional livre.

### 5.1 Haste rotacional bloqueada

Nesta parte da experiência, considera-se o controle PD da haste deslizante do pêndulo, travando-se a haste rotacional com os calços de madeira. A função de transferência para esta configuração é dada por

$$Gp(s) = \frac{X(s)}{F(s)} = \frac{k_{hw}}{m_1 s^2 + c_1 s}$$

onde

- $F(s)$  - força aplicada à haste deslizante
- $X(s)$  - deslocamento linear da haste deslizante
- $k_{hw}$  - ganho de hardware
- $m_1$  - massa total da haste com os pesos "orelhas"
- $c_1$  - coeficiente de atrito viscoso na haste deslizante

O controle PD em malha fechada do sistema pode ser representado como na Fig.12.

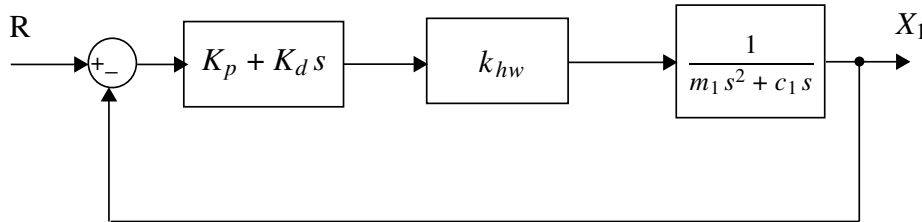


Figura 12: Controle PD da haste.

**Exercício 4:** Mostre que a função de transferência de malha fechada da Fig.12 é [t](#)

$$\frac{\Theta_1(s)}{R(s)} = \frac{k_{hw} K_p / m_1}{s^2 + ((c_1 + k_{hw} K_d) / m_1) s + k_{hw} K_p / m_1},$$

Definindo-se

$$\omega_n := \sqrt{\frac{k_{hw} K_p}{m_1}} \text{ [rd/s]} \quad (9)$$

$$\xi := \frac{c_1 + k_{hw} K_d}{2 m_1 \omega_n} = \frac{c_1 + k_{hw} K_d}{2 \sqrt{m_1 k_{hw} K_p}} \quad (10)$$

a função de transferência em malha fechada pode ser colocada na forma padrão

$$\frac{X_1(s)}{R(s)} = \frac{\omega_n^2}{s^2 + 2 \xi \omega_n s + \omega_n^2}.$$

## 5.2 Haste rotacional livre

A estratégia de controle completa para o pêndulo invertido quando a haste rotacional estiver livre envolve duas malhas de controle: uma interna e outra externa. A malha interna controla a posição linear da haste deslizante através de um controlador PD. A malha externa controla a posição angular do pêndulo através de uma estratégia simples de alocação de polos. Nesta parte da experiência discute-se o projeto de controladores PD para a posição linear da haste deslizante (malha interna).

O projeto do controle baseia-se num modelo simplificado do sistema, representado na Fig.13.

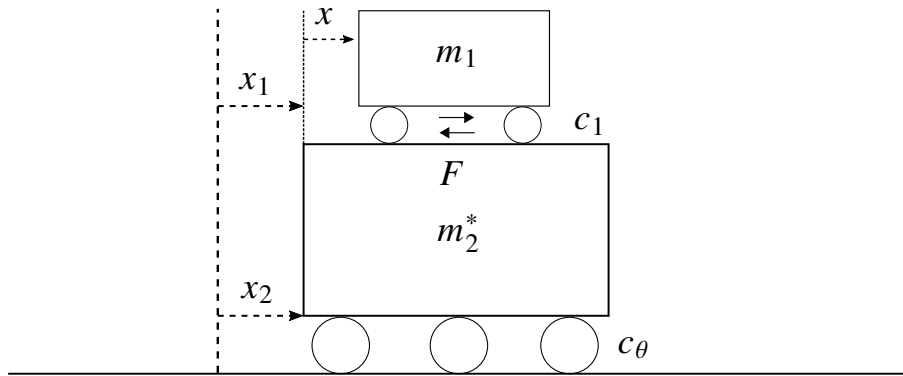


Figura 13: Modelo simplificado do sistema.

Para pequenos deslocamentos em torno da posição de equilíbrio, o conjunto pêndulo-haste pode ser visto como um sistema composto por duas massas deslizantes com transmissão de força entre elas. Na Fig.13,  $m_1$  representa a massa equivalente da haste,  $m_2^*$  a massa equivalente do pêndulo e contra-peso,  $x_2$  a posição linear do pêndulo e  $x$  a posição da haste relativa ao pêndulo, que é objeto do projeto inicial de controle. Considerando o atrito viscoso com coeficiente  $c_1$  e assumindo que  $c_\theta \approx 0$ , temos que

$$\begin{aligned} m_1 \ddot{x}_1 &= F - c_1 \dot{x} \\ m_2^* \ddot{x}_2 &= -F + c_1 \dot{x} \end{aligned}$$

onde  $x_1$  é a posição da haste relativa ao referencial do pêndulo. Logo  $x_1 = x_2 + x$  e portanto

$$m_1 (\ddot{x}_2 + \ddot{x}) = F - c_1 \dot{x}.$$

Usando a segunda expressão, obtém-se

$$m^* \ddot{x} + c_1 \dot{x} = F, \quad m^* = \frac{m_1 m_2^*}{m_1 + m_2^*}$$

A massa  $m_2^*$  pode ser obtida a partir do momento de inércia do conjunto sem a haste através de

$$m_2^* \ell_o^2 = \bar{J}$$

onde  $\ell_o$  é o comprimento da haste e  $\bar{J}$  é o momento de inércia do pêndulo sem a haste. O sistema de controle em malha fechada do sistema simplificado pode ser representado como na Fig.12, tomando-se  $m = m^*$ . O sistema de malha fechada equivalente terá frequência natural de oscilação  $\omega_n$  e fator de amortecimento  $\xi$  calculados a partir das equações (9) e (10), tomando-se  $m = m^*$ .

## 5.3 Procedimento experimental

### 5.3.1 Procedimento experimental - haste rotacional presa

Nesta primeira parte do procedimento experimental, analisa-se o efeito de se variar independentemente os valores do ganho proporcional ( $K_p$ ) e do ganho derivativo ( $K_d$ ).

1. Ajuste o equipamento travando a haste rotacional com os calços de madeira apropriados e com os pesos 'donuts' da haste instalados. Coloque a haste deslizante na posição central ( $x = 0$ ) e zere os sensores através do menu **Utility - Zero Position**;
2. Ajuste a coleta de dados do **Encoder #2** e **Commanded Position** através da caixa de diálogo **Set-up Data Acquisition** do menu **Data** e adote 2 como **Sample Period**. Ajuste um degrau em malha fechada de **1000 (zero)** counts, dwell time = **2000ms** e **1** (uma) repetição através da opção **Trajectory** do menu **Command**;
3. Por meio de (9), determine o valor de  $K_p$  (com  $K_d = 0$ ) de forma a fazer o sistema se comportar como um oscilador de frequência 4 Hz (t);
4. Na opção **Control Algorithm** do menu **Set-up**, faça **Ts = 0.00442 s** e selecione **Continuous Time Control**. Selecione **PI with Velocity Feedback** (corresponde ao controlador P&D) e **Set-up Algorithm**. Atribua o valor de  $K_p$  calculado acima (certifique-se de que  $K_p < 0.2$ ), atribua  $K_d = K_i = 0$ , selecione **Encoder #2** e depois **Implement Algorithm**;
5. Selecione **Execute** no menu **Command**, e selecione **Run**. Exporte a saída do **Encoder #2** e do **Commanded Position**, e plote um gráfico usando o Matlab (para isso use o script plotRawData.m) (g). Tente medir a frequência de oscilação e compare com a prevista teoricamente (t). Explique porque não se obtém um oscilador harmônico perfeito (t). O que acontece quando o ganho proporcional é dobrado (t)? Repita o passo 4 com o ganho proporcional dobrado (g) e compare com a sua previsão (t);
6. Utilizando novamente o ganho  $K_p$  obtido no item 3, calcule agora o ganho  $K_d$  para que o amortecimento seja nulo, utilizando a expressão em (10) (t). Adicione o novo valor no algoritmo de controle e implemente-o. Selecione **Execute** no menu **Command**, e selecione **Run**. Plote a saída do **Encoder #2** e do **Commanded Position** (g). Comente e explique o comportamento observado (t). Explique porque em um sistema de controle dificilmente o ganho  $K_d$  seria negativo como o obtido neste experimento (t);
7. Determine o valor do ganho derivativo  $K_d$  para que  $K_d k_{hw} = 9$  [N-m/(rd/s)] (t), e implemente o controlador com o valor obtido (certifique-se de que  $K_d < 0.03$ ) e  $K_i = K_p = 0$ ;
8. Após checar a estabilidade do sistema deslocando-o ligeiramente, movimente a haste nas duas direções. Não force a haste em demasia pelos mesmos motivos do passo 5. A que se deve atribuir o aumento do atrito viscoso observado ao se deslocar o carro (t)?
9. Repita os passos 7 e 8 para um valor de  $K_d$  cinco vezes maior (mas mantendo  $K_d < 0.03$ ). Pode-se observar o aumento no amortecimento (t)?

### 5.3.2 Procedimento experimental - haste livre

10. A configuração adotada corresponde à descrita na seção 5.2. Utilizam-se os 'donuts' da haste, o contra-peso do pêndulo e a distância do contra-peso ao pivot é de  $\ell_t = 10$  cm (configuração estável);

11. Ajuste a coleta de dados do **Encoder #2** e **Commanded Position** através da caixa de diálogo **Set-up Data Acquisition** do menu **Data**, com amostragem de dados a cada dois períodos. Entre no menu **Command**, vá para **Trajectory** e selecione **Impulse - Set-up**. Selecione **Closed Loop Impulse** com tamanho de **1000** counts, largura de pulso de **1000** ms, Dwell Time de **4000** ms e uma repetição. Retorne ao **Background Screen** clicando **OK** sucessivamente. O controlador está agora preparado para comandar um pulso positivo de **1000** counts (cerca de 2 cm) e continuar a aquisição de dados por mais **4000** ms;
12. Por meio das equações (9) e (10), projete controladores PD (isto é, determine os valores de  $K_p$  e  $K_d$ ) para obter frequência natural  $\omega_n = 30\pi$  [rad], e amortecimentos 1)  $\xi = 0.2$  (sub-amortecido), 2)  $\xi = 1.0$  (criticamente amortecido) e 3)  $\xi = 2.0$  (sobre-amortecido) em malha fechada (t). Os passos 13-17 a seguir devem ser executados para os três conjuntos de ganhos  $K_p$  e  $K_d$  obtidos;
13. Entre na caixa de diálogo **Control Algorithm** do menu **Set-up** e defina o período **Ts=0.00442s**. Selecione **Continuous Time Control**. Selecione **PID** e **Set-up Algorithm**. Atribua os valores de  $K_p$  e  $K_d$  ( $K_i = 0$ ), selecione **Encoder #2** para realimentação e clique **OK**;
14. Posicione o mecanismo com a haste no meio da sua excursão, de tal forma que o pêndulo fique aproximadamente na vertical. Selecione **Implement Algorithm** e clique **OK**;
15. Selecione **Execute** no menu **Command** e clique **Run**. A haste deve se movimentar para frente e para trás cerca de 2 cm, ao mesmo tempo em que o pêndulo balança devido à reação ao movimento da haste;
16. Plote os dados do **Encoder #2** e do **Commanded Position** no mesmo gráfico (eixo esquerdo) (g). Em seguida acrescente a posição da haste principal (**Encoder #1**) no gráfico (eixo direito) e plote novamente (g);
17. Para observar melhor o comportamento da haste principal, repita o experimento aumentando o tempo de aquisição de dados. Para isso, adote o Dwell Time de **14000** ms no menu **Trajectory - Impulse - Set-up** e repita os passos anteriores até obter o gráfico do item 16 (g);
18. Compare o comportamento observado para os ajustes sub-amortecido, criticamente amortecido e sobre-amortecido com o previsto pelo modelo linear da Fig.12 (t);
19. Projete um controlador P&D para atender as seguintes especificações de desempenho:  $10\% \leq M_p \leq 20\%$  (máximo *overshoot*) e  $t_s = 0.1$  s (tempo de estabelecimento do valor de regime - critério de 5%). O máximo *overshoot* e o tempo de estabelecimento são dados por

$$M_p = \exp\left(\frac{-\xi\pi}{\sqrt{1-\xi^2}}\right) \times 100 \text{ (em \%)},$$

e

$$t_s = \frac{3}{\xi\omega_n} \text{ (critério de 5\%)},$$

respectivamente. Implemente o controlador e compare a resposta obtida ⓖ com a esperada teoricamente Ⓣ.

## 5.4 Pré-relatório da experiência 4

As seguintes tarefas de simulação deverão ser realizadas e os resultados apresentados no início da próxima experiência:

1. Considere um controlador PI&D para o pêndulo com a haste rotacional travada, cujo diagrama de blocos está representado figura abaixo. Calcule os valores de  $K_p$  e  $K_d$  para um controlador do tipo P&D ajustado para ser criticamente amortecido e com frequência natural de oscilação ao  $\omega_n = 14\pi$  [rd/s]. Adicione o ganho  $K_i$  para obter o controlado completo PI&D tal que  $k_i k_{hw} = 2500$  [N-m/s]. Simule o controlador com este valor de  $K_i$ ;

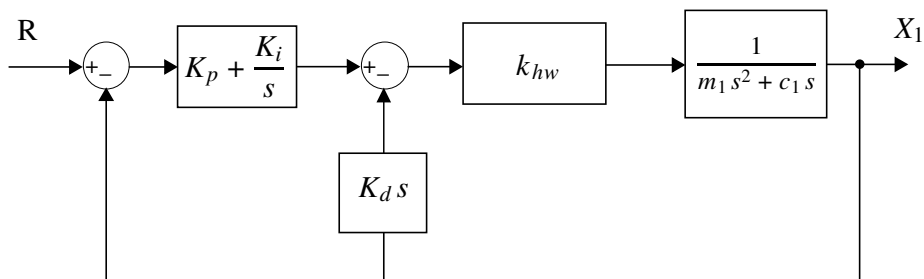


Figura 14: Controle em malha fechada do sistema.

2. Dobre o valor de  $K_i$  obtido no item anterior, e compare as respostas. A seguir faça  $K_i = 0$  (sistema criticamente amortecido) e compare com as simulações anteriores;
3. Qual o efeito da ação integral sobre o erro de estado estacionário? Qual o efeito da ação integral sobre o máximo *overshoot* do sistema?
4. Utilizando a função pzmap do Matlab, plote os polos e zeros do sistema em malha fechada obtidos nos itens 1 e 2. Indique quais são os polos dominantes.

## 6 Levitador Magnético

Nota: Os símbolos ⓖ, Ⓣ, ⓓ e Ⓢ indicam a necessidade de produção de um gráfico, desenvolvimento teórico, diagrama simulink<sup>®</sup> e script Matlab<sup>™</sup>, respectivamente.

Os resultados experimentais envolvem o uso do controle P&D do sistema levitador configurado com apenas um disco magnético.

O modelo não-linear completo do levitador magnético foi apresentado na Experiência 1 na configuração com um único disco (disco #1). Supondo aqui que não circule corrente pela bobina #2, o modelo se reduz ao apresentado a seguir (em unidades do MKS):

$$m_1 \ddot{y}_1 + c_1 \dot{y}_1 = \frac{u_1}{a (k_s y_1 + b)^4} - m_1 g \quad (11)$$

onde:

- $m_1$ : é a massa do disco magnético #1, medida em [kg];
- $c_1$ : é o coeficiente de atrito viscoso do disco #1 com o ar, medido em [Ns/m];
- $y_1$ : é a altura do disco #1, medida em [m];
- $u_1$ : é a corrente na bobina #1, medida em [A];
- $u_2$ : é a corrente na bobina #2, medida em [A];
- $y_c$ : é a distância entre as bobinas #1 e #2, medida em [cm];
- $k_s$ : é a relação de metros para centímetros, ou seja,  $k_s = 100$ ;
- $a$  e  $b$ : são constantes que descrevem as propriedades físicas do atuador.

Levando agora em conta as relações entre as unidades do MKS e as unidades empregadas no ECP o modelo não-linear com um disco em (11), já calibrado e nas unidades empregadas pelo ECP, é apresentado a seguir

$$m_1 \ddot{y}_{1cal} + c_1 \dot{y}_{1cal} = \frac{k_s u_{1counts}}{a (y_{1cal}/10^4 + b)^4} - k_s 10^4 m_1 g \quad (12)$$

Lembrando que foram utilizadas as relações de conversão [counts] e [N], e entre [counts] e [m], que são dadas por

$$1 \text{ [N]} = 10^4 \text{ [counts]} \quad \text{e} \quad 1 \text{ [m]} = 10^4 k_s \text{ [counts]}$$

Nas experiências 1 e 2 o modelo linear equivalente foi obtido através do desenvolvimento em Taylor da parcela não-linear em (6). A partir desta experiência, e até a conclusão desta disciplina, iremos adotar uma outra estratégia para tratar não-linearidades, utilizando o procedimento conhecido por *compensação de não-linearidade*. A ideia é simples, e funciona para não-linearidades algébricas cuja função é conhecida com bastante precisão. Exemplificando, se  $v = f(w)$  representa a relação algébrica não-linear entre as variáveis  $w$  e  $v$ , pode-se obter  $w$  da medida de  $v$ , tomando-se  $z = f^{-1}(v) = w$ , supondo é claro, que a função ao inversa  $f^{-1}$  seja bem definida. No caso da equação diferencial em (6),

$$v = f(w) = \frac{w}{a (y_{1cal}/10^4 + b)^4}, \quad z = f^{-1}(v) = a (y_{1cal}/10^4 + b)^4 \cdot v = w$$

Sendo  $v = u_{1counts}$  devemos adotar  $f^{-1}(u_{1counts}) = a (y_{1cal}/10^4 + b)^4 \cdot u_{1counts}$  e implementar essa relação por *software*. Os diagrama de bloco da figura abaixo ilustra a forma como a compensação de força magnética é implementada.

Da Figura 15 obtém-se o diagrama equivalente final, que será utilizado para os projetos envolvendo o caso SISO (*single input single output*) em que apenas a bobina inferior é utilizada para o acionamento<sup>†</sup>.

<sup>†</sup>Esta é a configuração definida no manual do fabricante como SISO #1.

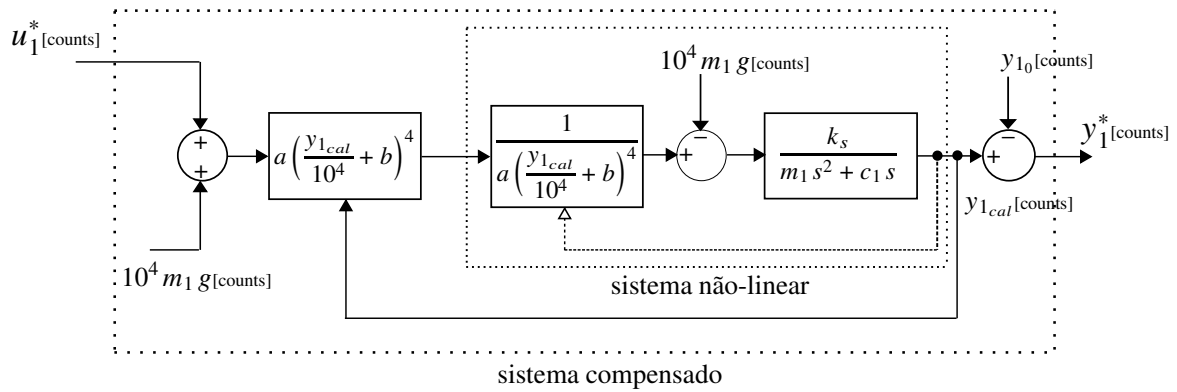


Figura 15: Sistema linearizado por compensação da força não-linear do atuador.

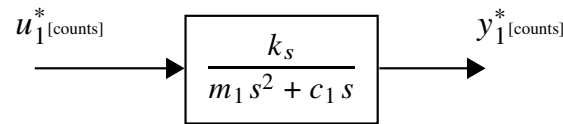


Figura 16: Diagrama final para o Levitador Magnético.

Assim, obtém-se o modelo dinâmico da planta incorporando o ganho de *hardware*, isto é,

$$G_p(s) = \frac{k_s}{m_1 s^2 + c_1 s},$$

referente à configuração com compensação descrita acima.

## 6.1 Controle P&D do levitador magnético

Desprezando-se o atrito viscoso, o controle (P&D) em malha fechada do sistema pode ser representado como na Fig. 17.

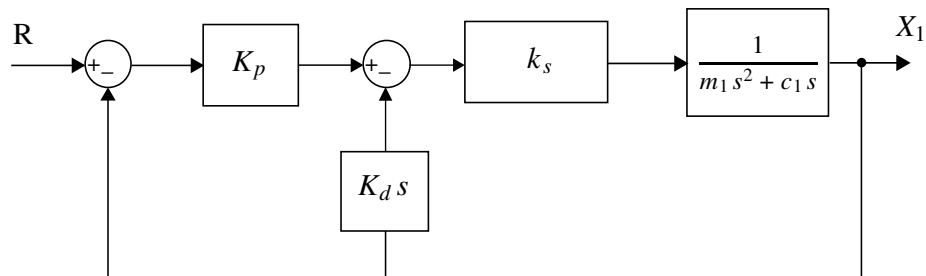


Figura 17: Controle em malha fechada do sistema rígido.



**Exercício 4:** Mostre que a função de transferência de malha fechada da Fig. 17 é [t](#)

$$\frac{\Theta_1(s)}{R(s)} = \frac{k_s K_p / m_1}{s^2 + ((c_1 + k_s K_d) / m_1) s + k_s K_p / m_1} ,$$

Definindo-se

$$\omega_n := \sqrt{\frac{k_s K_p}{m_1}} \text{ [rd/s]} \quad (13)$$

$$\xi := \frac{c_1 + k_s K_d}{2 m_1 \omega_n} = \frac{c_1 + k_s K_d}{2 \sqrt{m_1 k_s K_p}} \quad (14)$$

a função de transferência em malha fechada pode ser colocada na forma padrão

$$\frac{X_1(s)}{R(s)} = \frac{\omega_n^2}{s^2 + 2 \xi \omega_n s + \omega_n^2} .$$

## 6.2 Procedimento experimental

### Inicialização do Levitador

Este procedimento se refere ao experimento com um disco magnético montado.

1. No menu **File** carregue os parâmetros de calibração do sensor. Através da opção **Load Settings** carregue o arquivo Cal.cfg que se encontra na pasta /ea722/programas. Entre no menu **Setup, Sensor Calibration**, selecione a opção **Calibrate Sensor**  $Y_{cal} = a/Y_{raw} + f/\sqrt{Y_{raw}} + g + h * Y_{raw}$  e habilite a opção **Apply Thermal Compensation**;
2. Entre na caixa de diálogo **Control Algorithm** e verifique se **Ts = 0.001768s** e se o algoritmo Cal.alg foi carregado. Se não, carregue-o através da opção **Load from disk** usando o arquivo Cal.alg que se encontra na pasta /ea722/programas. Em seguida selecione **Implement Algorithm**. O disco irá se mover para a altura de aproximadamente 2,0 [cm] mantendo-se nesta posição;
3. Verifique se o **Sensor 1 Pos** está indicando o valor de  $20000 \pm 500$  [counts]. Caso isso não ocorra, entre no menu **Setup, Sensor Calibration**, selecione a opção **Calibrate Sensor** e ajuste o termo g da calibração para que a leitura do **Sensor 1 Pos** no fundo de tela seja próximo 20000 [counts];
4. Através da caixa de diálogo **Set-up Data Acquisition** do menu **Data**, ajuste a coleta dos dados de **Commanded Position** e **Variable Q10** (valor incremental da posição do disco #1). Especifique uma amostragem de dados a cada 2 ciclos;
5. Entre no menu **Command**, vá para **Trajectory #1** e selecione **Step**. Ajuste um degrau com amplitude de **15000** [counts], dwell time=**2000** ms e **1** (uma) repetição. Certifique-se que a opção **Unidirectional Move Only** esteja habilitada;
6. Selecione **Execute** no menu **Command** e em seguida **Trajectory #1 only**; depois plote as variáveis **Commanded Position** e **Variable Q10**. Verifique se a trajetória da variável Q10 apresenta pelo menos duas oscilações acima do valor de regime. Caso isso não ocorra, solicite a presença do professor.

Após a conclusão deste procedimento, clique no botão **Abort Control** no fundo de tela.

#### 6.2.1 Procedimento experimental - parte 1

Nesta primeira parte do procedimento experimental, analisa-se o efeito de se variar independentemente os valores do ganho proporcional ( $K_p$ ) e do ganho derivativo ( $K_d$ ).

1. Certifique-se que o procedimento de inicialização do equipamento foi realizado;





2. Entre na caixa de diálogo **Control Algorithm** e defina **Ts=0.001768s**. Para realização dos ensaios carregue o algoritmo *exp3.alg* encontrado na pasta /ea722/programas, através da opção **Load from disk**. Selecione **Edit Algorithm** para introduzir modificações nos valores de  $K_p$  e  $K_d$  no programa;
3. Por meio de (13), determine o valor de  $K_p$  (com  $K_d = 0$ ) de forma que o sistema se comporte como um oscilador de frequência 3 Hz. Atribua o valor de  $K_p$  calculado no algoritmo (certifique-se que  $K_p < 0.9$ ), e  $K_d = 0$ . Depois **Implement Algorithm** e **OK**;
4. Selecione **Execute** no menu **Command**, e selecione **Trajectory #1 Only**. Exporte a saída **Variable Q10<sup>†</sup>** e do **Commanded Position** e plote um gráfico usando o Matlab (use o script *plotRawData.m*) <sup>(g)</sup>. Tente medir a frequência de oscilação e compare com a prevista teoricamente <sup>(t)</sup>. Explique porque não se obtém um oscilador harmônico perfeito <sup>(t)</sup>. O que acontece quando o ganho proporcional é aumentado em 50% <sup>(t)</sup>? Repita este ensaio com o ganho proporcional dobrado e compare com a sua previsão <sup>(t)</sup>;
5. Utilizando novamente o ganho  $K_p$  obtido no item 3, calcule agora o ganho  $K_d$  para que o amortecimento seja nulo, utilizando a expressão em (14) <sup>(t)</sup>. Adicione o novo valor no algoritmo de controle e implemente-o. Selecione **Execute** no menu **Command**, e selecione **Run**. Plote a saída da **Variable Q10** e do **Commanded Position** <sup>(g)</sup>. Comente e explique o comportamento observado <sup>(t)</sup>. Explique porque em um sistema de controle dificilmente o ganho  $K_d$  seria negativo como o obtido neste experimento <sup>(t)</sup>;
6. Selecione  $K_p = 0$  e  $K_d = 0.05$ . Segure o disco magnético a aproximadamente 2cm da bobina #1, em seguida selecione **Implement Algorithm**. Movimente manualmente o disco magnético nas duas direções, sem forçar em demasia e sem deixar que ele ultrapasse a altura de 3cm;
7. Repita o experimento do passo 6 para um valor de  $K_d$  quatro vezes maior do que o ajustado no passo 2. Pode-se observar o aumento no amortecimento <sup>(t)</sup>? A que se deve atribuir o aumento do amortecimento viscoso observado no sistema <sup>(t)</sup>?
8. Selecione **Edit Algorithm** para introduzir modificações nos valores de  $K_p$  e  $K_d$  no programa. Selecione agora  $K_p = 0.35$  e  $K_d = 0$ . Segure o disco magnético a aproximadamente 2cm da bobina #1, em seguida selecione **Implement Algorithm**;
9. Movimente manualmente o disco magnético nas duas direções, sem forçar em demasia e sem deixar que ele ultrapasse a altura de 3cm. Depois dobre o valor do ganho  $K_p$ ;
10. Qual é a natureza da força que se opõe ao movimento nos experimentos dos itens 6 e 7 <sup>(t)</sup>? E a dos experimentos dos itens 8 e 9 <sup>(t)</sup>?

---

<sup>†</sup>A variável **Q10** está associada no programa *exp3.alg* ao valor incremental da saída  $y_1^*$ .

### 6.2.2 Procedimento experimental - parte 2



Nesta segunda parte do procedimento experimental, serão projetados e testados alguns controladores P&D.

11. Por meio das equações (13) e (14), projete controladores P&D (i.e., determine os valores de  $K_p$  e  $K_d$ ) para obter frequência natural  $\omega_n = 8\pi$  [rad], e os seguintes amortecimentos 1)  $\xi = 0.2$  (sub-amortecido), 2)  $\xi = 0.707$  (sub-amortecido) e 3)  $\xi = 1.0$  (criticamente amortecido) ;
12. Entre na caixa de diálogo **Control Algorithm** e defina **Ts=0.001768s**. Para realização dos ensaios carregue o algoritmo *exp3.alg* através da opção **Load from disk**. Selecione **Edit Algorithm** para implementar o controlador sub-amortecido. Em seguida selecione **Implement Algorithm**;
13. Entre no menu **Command**, vá para **Trajectory #1** e selecione **Step** e **Unidirectional Move**. Ajuste um degrau com amplitude de **10000 counts**, dwell time=**1000 ms**;
14. Execute a trajetória e plote no mesmo gráfico a trajetória comandada (**Commanded Position 1**) e a trajetória de saída (**Variable Q10**) ;
15. Repita os passos 12 e 13 para os outros dois casos. Plote os gráficos  ;
16. Projete um controlador P&D para atender as seguintes especificações de desempenho:  $10\% \leq M_p \leq 20\%$  (máximo *overshoot*) e  $t_s = 0.2$  s (tempo de estabelecimento do valor de regime - critério de 5%). O máximo *overshoot* e o tempo de estabelecimento são dados por

$$M_p = \exp\left(\frac{-\xi \pi}{\sqrt{1 - \xi^2}}\right) \times 100 \text{ (em \%)},$$

e

$$t_s = \frac{3}{\xi \omega_n} \text{ (critério de 5\%)},$$

respectivamente. Implemente o controlador e compare a resposta obtida  com a esperada teoricamente .

### 6.3 Pré-relatório da experiência 4

As seguintes tarefas de simulação deverão ser realizadas e os resultados apresentados no início da próxima experiência:

1. Considere um controlador PI&D conforme a figura 18. Calcule  $K_i$  tal que  $K_i k_s = 800$  [N-m/rd-s]. Simule o controlador com este valor de  $K_i$  e os valores de  $K_p$  e  $K_d$  correspondentes ao caso criticamente amortecido;
2. Dobre o valor de  $K_i$  e compare a resposta com a obtida no item anterior. Compare as simulações com os resultados experimentais relativos ao sistema criticamente amortecido ( $K_i = 0$ ). Qual o efeito da ação integral sobre o erro de estado estacionário? Qual o efeito da ação integral sobre o máximo *overshoot* do sistema?

3. Utilizando a função `pzmap` do Matlab, plote os polos e zeros do sistema em malha fechada obtidos nos itens 1 e 2. Indique quais são os polos dominantes.

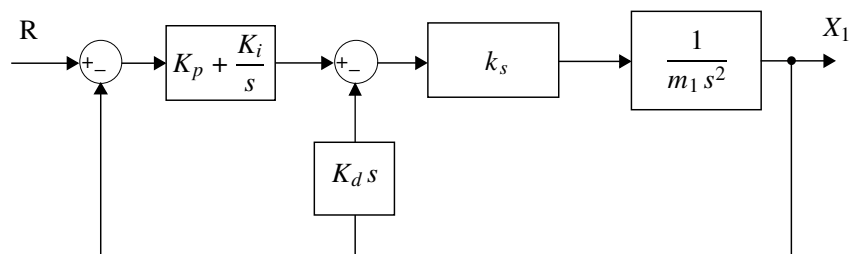


Figura 18: Controle em malha fechada do sistema com um disco.

## Referências

- [1] ECP. *Manual for Model 505 - Inverted Pendulum - Educational Control Products*, 1994.
- [2] ECP. *Manual for Model 220 - Industrial Emulator/Servo Trainer - Educational Control Products*, 1995.
- [3] ECP. *Manual for Model 205/205a - Torsional Control System - Educational Control Products*, 1997.
- [4] ECP. *Manual for Model 210/210a - Rectilinear Control System - Educational Control Products*, 1998.
- [5] ECP. *Manual for Model 730 - Magnetic Levitation System - Educational Control Products*, 1999.
- [6] P. A. V. Ferreira. *Introdução aos Sistemas de Controle. Notas de aula, prof. Paulo Valente. FEEC-UNICAMP*, 1999.
- [7] G.F. Franklin, J.D. Powell, and A. Emami-Naeini. *Feedback Control of Dynamic Systems*. Pearson Education Limited, 8th edition, 2018.
- [8] J.C. Geromel and R.H. Korogui. *Controle Linear de Sistemas Dinâmicos: Teoria, Ensaios Práticos e Exercícios*. Edgard Blücher Ltda., 3rd edition, 2011.
- [9] J.C. Geromel and A.G.B. Palhares. *Análise Linear de Sistemas Dinâmicos: Teoria, Ensaios Práticos e Exercícios*. Edgard Blücher Ltda., 3rd edition, 2019.
- [10] D.J. Higham and N.J. Higham. *MATLAB Guide*. Siam, 3rd edition, 2017.
- [11] The MathWorks Inc. *MATLAB and Simulink® Coverage™ User's Guide*. The MathWorks, Inc., 2022.

[12] N.S. Nise. *Control System Engineering*. Wiley, 8th edition, 2019.

[13] K. Ogata. *Engenharia de Controle Moderno*. Prentice Hall, 5th edition, 2010.